

**ИНТЕРФЕЙСНАЯ ЛЮМИНЕСЦЕНЦИЯ,
ОБУСЛОВЛЕННАЯ НАДБАРЬЕРНЫМ ОТРАЖЕНИЕМ,
В ИЗОТИПНОЙ ГЕТЕРОСТРУКТУРЕ p -InAs/ P -InAsPSb]**

Бреслер М. С., Гусев О. Б., Михайлова М. П., Шерстнев В. В.,
Яковлев Ю. П., Яссиевич И. Н.

Исследована люминесценция гетероструктуры p -InAs/ P -InAs_{0.63}P_{0.25}Sb_{0.12}. В спектрах люминесценции обнаружена новая линия, лежащая между объемными линиями узкозонного и широкозонного материалов. Характерной особенностью этой линии является смещение ее в коротковолновую область при увеличении уровня возбуждения. В результате подобного теоретического анализа и сопоставления теории с экспериментом данная линия интерпретирована как результат рекомбинации дырок, находящихся на акцепторах обогащенного слоя, и фотозелектронов, локализованных в области обеднения вследствие надбарьерного отражения от гетерограницы.

При исследовании люминесценции гетероструктуры p -InAs/ P -InAsPSb была обнаружена новая интерфейсная линия, лежащая между объемными линиями узкозонного и широкозонного материалов, которая была интерпретирована как проявление локализации электронов вблизи гетерограницы вследствие надбарьерного отражения [1]. Данная работа посвящена подробному обсуждению результатов исследования фотолюминесценции в этих гетероструктурах при низких температурах.

1. Исследовались одиночные гетероструктуры p -InAs/ P -InAs_{0.63}P_{0.25}Sb_{0.12}, выращенные жидкокристаллической эпитаксией на подложках арсенида индия [100] n -типа. Для получения P -слоя твердого раствора проводилось легирование цинком в процессе эпитаксии. Были исследованы структуры с уровнем легирования у поверхности четверного слоя $N_A = 4 \cdot 10^{16} - 7 \cdot 10^{17} \text{ см}^{-3}$. Как показали рентгенографические исследования, из-за большого коэффициента сегрегации цинка область объемного заряда $n-p$ -перехода была смещена от гетерограницы в область InAs на глубину 10–30 мкм, в то время как толщина четверного слоя составляла 2–3 мкм.

Для определения типа гетероперехода использовались данные по положению краев валентных зон соединений Al^{III}Br^V, приведенные в работе [2]. Смещение края валентной зоны арсенида индия, вызванное добавлением фосфора и сурьмы, учитывалось в линейном приближении. Согласно расчетам, край валентной зоны четверного слоя лежит на 80 мэВ ниже края валентной зоны InAs. Исследования показали, что разность между энергиями линий объемной люминесценции четверного слоя и арсенида индия составляет ~ 105 мэВ. Таким образом, исследуемый гетеропереход следует рассматривать как $p-P$ -гетеропереход первого типа. Энергетическая зонная диаграмма приведена на рис. 1.

2. В качестве источника накачки использовался неодимовый лазер ($\lambda = 1.06$ мкм), работавший в непрерывном режиме, с мощностью 500 мВт. Излучение фокусировалось на образцы, находившиеся непосредственно в жидком гелии при температуре 1.8 К. Люминесценция наблюдалась в геометрии на отражение со стороны широкозонной области (эпитаксиального слоя).

На рис. 2 показан спектр фотолюминесценции для одного из образцов p -InAs/ P -InAs_{0.63}P_{0.25}Sb_{0.12} при двух уровнях возбуждения. Спектр состоит из двух сравнительно узких линий (A и C) и одной широкой полосы B . Линия A

при 405 мэВ соответствует хорошо известному переходу зона—акцептор в p -InAs^[3]. Линия с максимумом 510 мэВ отвечает объемной люминесценции в P -InAs_{0.63}P_{0.25}Sb_{0.12}. Если приписать ее переходу зона—акцептор и предполо-

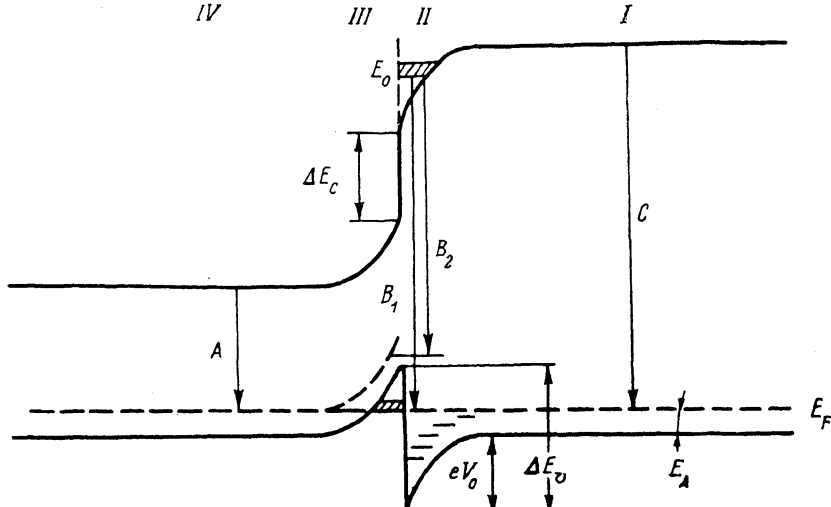


Рис. 1. Энергетическая зонная диаграмма гетероперехода p -InAs/ P -InAs_{0.63}P_{0.25}Sb_{0.12}. E_F — уровень Ферми дырок, ΔE_c , ΔE_v — соответственно разрывы зоны проводимости и валентной зоны. I — эпитаксиальный слой P -InAsPSb, II — обедненный слой, III — слой пространственного заряда IV — подложка p -InAs. Стрелки A, B₁, B₂, C — оптические переходы.

жить, что энергии связи акцептора одинаковы в арсениде индия и в четверном растворе, то суммарный разрыв зоны проводимости и валентной зоны $\Delta E_c + \Delta E_v = 105$ мэВ.

Полоса B, расположенная между линиями объемной фотолюминесценции, имеет полуширину ~ 30 мэВ. Ширина этой полосы не зависит от энергии возбуж-

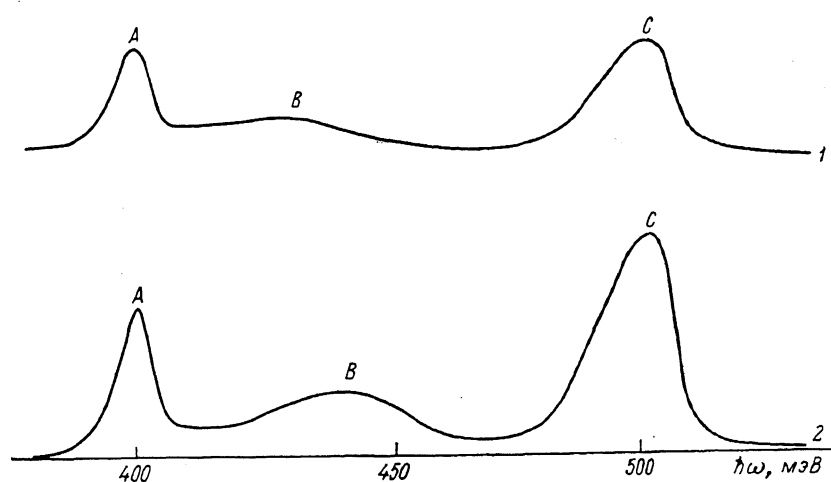


Рис. 2. Спектры люминесценции гетероструктуры p -InAs/ P -InAs_{0.63}P_{0.25}Sb_{0.12} для двух уровней возбуждения.

Интенсивность возбуждения для спектра 2 в 2 раза больше, чем для спектра 1.

ждения, тогда как положение ее максимума смещается с ростом интенсивности накачки в сторону больших энергий, что характерно для интерфейсных линий (рис. 3). При минимальных интенсивностях возбуждения максимум полосы B отстоит от линии A не более чем на 20 мэВ, а при максимальной интенсивности накачки линия B сливаются с линией широкозонного материала. На интерфейсный характер линии B указывает также влияние на ее интенсивность магнит-

ного поля, параллельного гетерогранице. С ростом магнитного поля такой ориентации наблюдается гашение линии B , при этом интенсивность линии C возрастает.

В гетеропереходах первого типа локализация дырок в квантовой яме вблизи гетерограницы может приводить лишь к возникновению интерфейской линии люминесценции с энергией перехода, меньшей ширины запрещенной зоны узкозонного материала. Такая линия наблюдалась, в частности, в гетеропереходе GaAs/GaAlAs [4]. Наблюдавшаяся нами интерфейская линия B отличается тем, что ее энергия лежит в интервале между объемными линиями узкозонного и широкозонного материалов. Таким образом, факт ее наблюдения указывает на локализацию фотоэлектронов вблизи гетерограницы вследствие надбарьерного отражения (см. п. 4).

Была исследована также зависимость интенсивности линий A , B и C от интенсивности накачки (рис. 4).

3. Теоретический анализ начнем с рассмотрения зонной энергетической диаграммы изучаемого гетероперехода. Из экспериментальных данных принята сле-

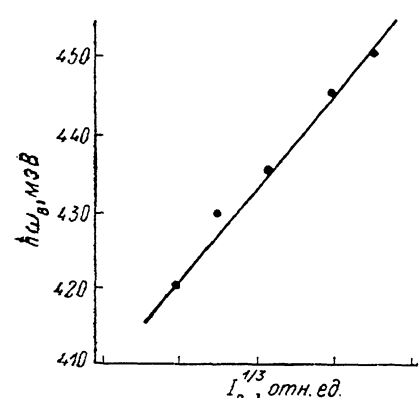


Рис. 3. Смещение интерфейской линии люминесценции B в зависимости от уровня возбуждения.

Точки — экспериментальные данные.

дующая модель: имеется $p-P$ -гетеропереход первого типа с одинаковым уровнем легирования по обе стороны гетерограницы, уровень Ферми дырок находится на уровне акцепторов (при $T=0$ К).

Ход потенциала вблизи гетерограницы рассчитываем, следуя работе [5]. В области обеднения (рис. 1) он определяется (в соответствии с обычной теорией $p-n$ -перехода) соотношением

$$eV(x) = eV_0 - a(x_1 - x)^2, \quad (1)$$

где $a = 2\pi e^2 N_A / \kappa$, N_A — концентрация акцепторов, κ — диэлектрическая проницаемость, которая принималась одинаковой по обе стороны от гетерограницы, а размер области обеднения x_1 связан со скачком потенциала на границе V_0 соотношением

$$eV_0 = ax_1^2. \quad (2)$$

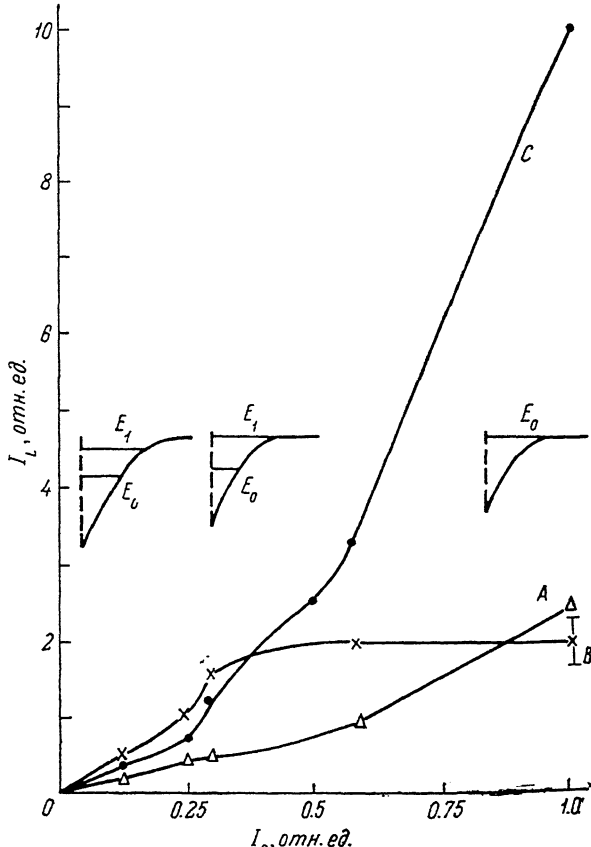


Рис. 4. Зависимость интенсивности линий люминесценции A , B и C от уровня возбуждения.

В верхней части рисунка показано положение электронных уровней в квазизимме для данной области интенсивностей возбуждения.

Соответственно для поля на границе имеем

$$e\mathcal{E} = 2a \left(\frac{eV_0}{a} \right)^{1/2}. \quad (3)$$

Из условия непрерывности поля на границе следует, что скачок потенциала в области III определяется тем же значением поля. Вместе с тем этот скачок поля связан с поверхностной плотностью заряда дырок в размерно-квантованных состояниях вблизи гетерограницы соотношением

$$\kappa\mathcal{E} = 4\pi e\sigma, \quad (4)$$

где σ — плотность поверхностного заряда, создаваемого тяжелыми дырками. В то же время плотность поверхностного заряда в области III при $T=0$ К определяется выражением

$$\sigma = \int_{E_{0h}}^{E_F} \rho dE = \frac{m_h}{\pi^2 \hbar} (E_F - E_{0h}), \quad (5)$$

где ρ — плотность состояний, соответствующая заполнению одного энергетического уровня размерного квантования, m_h — эффективная масса тяжелых дырок, E_F — уровень Ферми, отсчитываемый от дна треугольной ямы (рис. 1), E_{0h} — энергия нулевого уровня размерного квантования для тяжелых дырок:

$$E_{0h} = \left(\frac{\hbar^2}{2m_h} \right)^{1/3} \left(\frac{9\pi}{8} e\mathcal{E} \right)^{2/3}. \quad (6)$$

Учитывая то, что уровень Ферми проходит по акцепторным состояниям, т. е. $E_F = \Delta E_v - E_A - eV_0$, получаем окончательное уравнение для величины eV_0

$$\rho \left\{ \Delta E_v - E_A - eV_0 - \left(\frac{\hbar^2}{2m_h} \right)^{1/3} \left[\frac{9\pi}{8} 2 (aeV_0)^{1/2} \right]^{2/3} \right\} = N_A \left(\frac{eV_0}{a} \right)^{1/2}. \quad (7)$$

Ход потенциала вблизи гетерограницы, рассчитанный согласно (7), показан на рис. 1. В расчете принималось, что $m_h = 0.4 m_0$, $m_e = 0.03 m_0$, $\kappa = 14.3$, $\Delta E_v = 80$ мэВ, $E_A = 20$ мэВ.

4. Обсудим возможную природу полосы люминесценции B . Положение линии B между объемными линиями широкозонного и узкозонного материалов не позволяет связать ее с процессом рекомбинации фотоэлектроны—дырки, локализованные в квантовой яме вблизи гетерограницы или на поверхностных состояниях (Тамма или Суриса [6]).

Горячая люминесценция, обусловленная нетермализованными электронами, вынесенными в узкозонный материал из эпитаксиального слоя, в принципе может привести к свечению в этой области спектра, однако сравнительно большая интенсивность линии B и ее смещение в сторону больших энергий с усиливанием накачки не позволяют объяснить возникновение полосы B этим механизмом.

Вместе с тем наблюдаемые явления объясняются с помощью представления о квазистационарных состояниях, возникающих в области обеднения II вследствие надбарьерного отражения [1]. Напомним, что, как было показано нами в [1], учет достаточно сильного отражения от гетерограницы электронов, движущихся над потенциальным барьером (в данном случае — в потенциальном профиле параболического вида, возникающем в области обеднения), приводит к существованию в этой области квазилокальных состояний с комплексной энергией $\epsilon = E - i\Gamma/2$, причем уширение уровня $\Gamma/2$ может быть малым, если отражение от границы достаточно сильное. Если $\Gamma/2 \ll E$, то фотоэлектроны будут накапливаться в рассматриваемых квазистационарных состояниях. В этом случае смещение интерфейской линии с ростом уровня накачки объясняется выталкиванием квазистационарного уровня из «квазиямы» вследствие сужения области обеднения, вызванного накоплением в ней фотоэлектронов.

Большая ширина полосы B (~ 30 мэВ) приводит к выводу, что существенный вклад в нее наряду с переходом локализованные фотоэлектроны—дырки,

локализованные в яме, вносят переходы с участием дырок, локализованных на акцепторах (переходы B_1 , B_2 на рис. 1).

Расчет параметров квазилокальных уровней, обусловленных надбарьерным отражением, в рамках квазиклассического приближения приведен в Приложении. Для случая параболического потенциала энергия определяется выражением

$$F(k) \equiv k - (1 - k^2) \ln \left[\frac{1 + k}{(1 - k^2)^{1/2}} \right] = \left[\frac{\hbar^2}{2m_e} 4 \frac{a}{eV_0} \pi^2 \left(n + \frac{3}{4} \right)^2 \right]^{1/2}, \quad n = 0, 1, 2 \dots, \quad (8)$$

где $k = (E/eV_0)^{1/2}$. Результаты расчетов скачков потенциала eV_0 , а также энергий уровней электронов E для разных концентраций акцепторов N_A представлены в таблице. В той же таблице даны результаты расчета уровней энергий для треугольного потенциала (отметим, что в этом случае расчет был сделан без использования квазиклассического приближения непосредственно из уравнения Шредингера). При низких уровнях легирования положения уровней электронов, вычисленные в потенциале параболической формы и в приближении треугольного потенциала, совпадают.

Скачок потенциала eV_0 , энергия нулевого уровня тяжелых дырок E_{0h} , энергия нулевого и первого уровней электронов в квазияме E_{0e} , E_{1e} и размер области обогащенного l_S и обедненного l_D слоев в зависимости от концентрации акцепторов N_A . Значения E_{0e} , приведенные в скобках, вычислены для треугольного потенциала

| $N_A, 10^{16} \text{ см}^{-3}$ | $eV_0, \text{ мэВ}$ | $E_{0h}, \text{ мэВ}$ | $E_{0e}, \text{ мэВ}$ | $E_{1e}, \text{ мэВ}$ | $l_S, \text{ \AA}$ | $l_D, \text{ \AA}$ |
|--------------------------------|---------------------|-----------------------|-----------------------|-----------------------|--------------------|--------------------|
| 1 | 47.8 | 11.3 | 24.6 (26.7) | 39.7 | 110.8 | 869 |
| 2 | 45.0 | 13.9 | 29.4 (33.1) | 44.4 | 99.4 | 596 |
| 3 | 43.1 | 15.7 | 32.3 (37.3) | — | 93.2 | 477 |
| 4 | 42.2 | 17.2 | 34.5 (40.8) | — | 86.2 | 408 |
| 5 | 40.3 | 18.2 | 35.7 (43.3) | — | 87.2 | 357 |
| 6 | 39.4 | 19.2 | 36.8 — | — | 84.3 | 322 |
| 7 | 38.4 | 20.1 | 37.4 — | — | 82.6 | 295 |
| 8 | 37.5 | 20.8 | — — | — | 81.7 | 272 |
| 9 | 37.5 | 21.7 | — — | — | 77.0 | 257 |
| 10 | 36.6 | 22.2 | — — | — | 77.0 | 240 |

Рассмотрим, как будет происходить смещение интерфейсной линии с ростом интенсивности накачки. Принимая в первом приближении то, что накопление фотоэлектронов в квазияме эквивалентно увеличению концентрации заряженных акцепторов в обедненном слое, из выражения (8) можно получить связь между положением электронного уровня (и соответственно положением линии люминесценции) и интенсивностью накачивающего излучения. В приближении треугольного потенциала, что справедливо при $k = (E/eV_0)^{1/2} \ll 1$, имеем $E_0 \sim I_p^{1/2}$. Так как положение уровня E_0 изменяется с изменением накачки намного быстрее, чем глубина ямы eV_0 , можно считать, что сдвиг интерфейсной линии должен следовать тому же закону. На рис. 3 приведено экспериментальное положение интерфейсной линии B в зависимости от $I_p^{1/2}$. Видно, что в координатах $\hbar \omega_B$ ($I_p^{1/2}$) зависимость линейная; это указывает на согласие эксперимента с предлагаемым теоретическим объяснением.

На рис. 4 представлены зависимости интенсивности объемных линий A , C и интерфейсной линии B от интенсивности накачки. Наблюдаемые зависимости мы связываем с изменением положения уровней в квазияме. Согласно нашим расчетам, при малых интенсивностях возбуждения в квазияме помещаются два уровня электронов (нулевой и первый). С ростом интенсивности накачки вначале из квазиямы выталкивается первый уровень. Его выход в сплошной спектр должен сопровождаться увеличением отражения от гетерограницы вследствие резонансного рассеяния и одновременным усилением захвата носителей в квазияму по резонансному механизму [7].

Мы полагаем, что именно с этим связан резкий рост интенсивности линий *C* и *B*, наблюдаемый одновременно с замедлением роста интенсивности линии *A* при $I_p \approx 0.25$. При дальнейшем увеличении интенсивности накачки резонансные рассеяние и захват исчезают. Второй резкий рост интенсивности линий *A* и *C* при $I_p \approx 0.6$ связан, вероятно, с выходом в зону проводимости нулевого уровня.

5. Рассмотрим пространственное распределение фотоэлектронов в случае возбуждения со стороны области *I* (рис. 1) и связанное с этим соотношение интенсивностей объемных и интерфейсной линий.

Можно предположить, что основные параметры четверного раствора близки к соответствующим их значениям для арсенида индия. Мы примем для оценки именно эти значения: коэффициент поглощения на частоте возбуждения $\alpha \sim 3 \cdot 10^4 \text{ см}^{-1}$, подвижность электронов $\mu \sim 2 \cdot 10^4 \text{ см}^2/\text{В} \cdot \text{с}$ (для вырожденных носителей с энергией Ферми $E_F \sim 5 \text{ мэВ}$), что соответствует коэффициенту диффузии $D \sim 60 \text{ см}^2/\text{с}$. Характерное время жизни неравновесных электронов в *p-InAs* при гелиевых температурах $\tau \leq 10^{-8} \text{ с}$. Так как квантовый выход люминесценции в арсениде индия мал, можно предположить, что время излучательной рекомбинации в этом материале заметно больше данной величины. Естественно считать, что и в четверном растворе времена излучательной и безызлучательной рекомбинаций близки к их величинам для арсенида индия.

В условиях эксперимента между характерными длинами нашей задачи — диффузационной длиной $L = (D\tau)^{1/2} \sim 2.5 \text{ мкм}$, толщиной эпитаксиального слоя $d = 2 \text{ мкм}$ и характерной толщиной обедненной области l , изменяющейся в пределах $900-250 \text{ \AA}$ при изменении N_d от 10^{16} до 10^{17} см^{-3} (см. таблицу), выполняется соотношение $L \gg d \gg l$. Существенная доля носителей выносится из эпитаксиального слоя путем диффузии, так как характерное время жизни носителей в этом слое по отношению к выносу $\tau_d = d^2/2D \sim 6 \cdot 10^{-10} \text{ с}$, что соизмеримо с временем безызлучательной рекомбинации.

Фотоэлектроны, дошедшие до границы обедненной области *II*, эффективно захватываются в квазилокальные состояния. Оценим время жизни носителей в квазияме по отношению к прохождению через барьер отражения. В квазиклассическом приближении при любой форме потенциала это время равно

$$\tau = T/\mathcal{D}, \quad (9)$$

где T — классический период колебания электрона в связанном состоянии, \mathcal{D} — коэффициент прохождения частицы при надбарьерном отражении [вывод формулы (9) см. в *Приложении*]. Точные теоретические оценки \mathcal{D} во многих случаях затруднительны, поэтому к этой величине следует относиться как к физическому параметру, подлежащему определению из эксперимента.

Для параболического потенциала

$$T = (2m/a)^{1/2} \ln(1 + \sqrt{E/eV_0}). \quad (10)$$

В приближении простого квадратичного закона дисперсии, когда отражение от границы определяется лишь разницей в кинетических энергиях электронов по разные стороны границы,

$$\mathcal{D} = \frac{4\sqrt{E(E+\Delta)}}{(\sqrt{E} + \sqrt{E+\Delta})^2}, \quad (11)$$

где E — энергия электрона над барьером, Δ — скачок потенциала при переходе через границу. В наших условиях естественно положить, что $\Delta \approx \Delta E_c$, а за E выбрать энергию электрона, отсчитываемую от дна квазиямы, но так как размер обогащенной области меньше де-бройлевской волны электрона в области *III*, в величину Δ можно включить также и скачок потенциала eV_0 . При наших параметрах E и Δ коэффициент прохождения, рассчитанный таким образом, все еще не слишком мал по сравнению с единицей. Важно, однако, что полученные оценки коэффициента прохождения \mathcal{D} являются завышенными как из-за неучета кейновского характера закона дисперсии электронов в соединениях $\text{Al}_{1-x}\text{Ga}_x\text{As}$, так и вследствие неучета отражения, связанного с разнородностью

материала по обе стороны гетерограницы. Эти факторы могут привести к заметному возрастанию времени жизни фотоэлектронов в квазияме.

Трудно ожидать, однако, что коэффициент прохождения был бы меньше 10^{-2} . Даже при столь малом $\mathcal{D} \sim 10^{-2}$ время жизни электронов по отношению к уходу из квазиямы составляет $10^{-11} - 10^{-10}$ с, тогда как относительно большая интенсивность линии B (в максимуме лишь в 10 раз меньше интенсивности объемной линии A , а интегральные интенсивности этих линий сопоставимы) указывает на большую силу осцилляторов для соответствующего перехода. По-видимому, это может быть вызвано связыванием электронов, захваченных в квазияму с дырками, локализованными в области границы или на акцепторах в области пространственного заряда.

Таким образом, речь идет о двумерном экситоне с пространственно разделенными электронами и дырками. В пользу этого предположения говорит также и то обстоятельство, что наблюдаемая интерфейсная линия сдвинута по сравнению с объемной линией C сильнее, чем это следует из расчетного значения энергии нулевого уровня E_0 . Для выяснения окончательной природы интерфейсной линии требуются дальнейшие исследования.

6. Совокупность приведенных результатов свидетельствует о том, что в настоящей работе впервые наблюдалась локализация электронов в квазистационарных состояниях, обусловленных надбарьерным отражением от гетерограницы.

Данная ситуация аналогична оптическому интерферометру Фабри—Перо с добротностью $Q \sim \Gamma/E$, причем добротность определяет накопление частиц в квазияме, т. е. среднее число актов отражения электрона перед его прохождением через границу. Можно ожидать, что соответствующие квазилокальные состояния проявятся как в одиночных гетероструктурах, так и в многослойных полупроводниковых лазерных структурах со сбором носителей тока.

Авторы благодарны Б. П. Захарчене, В. И. Перелю и А. А. Рогачеву за поддержку настоящей работы и обсуждение результатов.

Приложение

Вычислим время жизни электрона в квазистационарном состоянии, определяемом профилем потенциала $V(x)$ при $x < 0$, при наличии отражения на границе $x=0$ (рис. 5) в рамках квазиклассического приближения. Будем характеризовать вероятность прохождения через границу коэффициентом $\mathcal{D}=1-R$, где R — коэффициент отражения.

Считая отражение от границы достаточно сильным, можно найти положение квазистационарных уровней в яме, используя обычное условие квантования

$$2 \int_{a_n}^0 p(x) dx = 2\pi(n + \gamma), \quad n = 0, 1, 2 \dots, \quad (\text{П. 1})$$

где $p(x) = \sqrt{2m(E-V(x))/\hbar}$ — классический импульс частицы, a_n — точка поворота, определяемая из условия $E=V(a_n)$, γ — численный фактор, равный $3/4$ для ямы с одной вертикальной стенкой и другой, имеющей конечную первую производную в точке $x=a_n$ [8].

Как известно, в случае простых потенциалов использование условия квантования в форме (П. 1) позволяет получить точное значение энергии даже для самого нижнего уровня.

Интегрирование в (П. 1) для параболического потенциала приводит к уравнению (8) основного текста.

Для определения времени жизни в квазистационарном состоянии найдем поток частиц J на бесконечности в случае, когда один электрон находится на квазиуровне (коэффициент прохождения считается малым), что обеспечивает малость потока.

Поток J и время жизни в квазистационарном состоянии связаны соотношением

$$\tau = 1/J. \quad (\text{П. 2})$$

Имеем

$$J = -\frac{i\hbar}{2m} \int d^2r \left[\Psi^*(x, r) \frac{\partial \Psi(x, r)}{\partial x} - \frac{\partial \Psi^*(x, r)}{\partial x} \Psi(x, r) \right] \Big|_{x=\infty}, \quad (\text{П. 3})$$

где интегрирование по r ведется в плоскости, перпендикулярной оси x .

Волновая функция $\Psi(x, r)$ определена соотношениями

$$\Psi(x, r) = Ae^{ik_1 x}\varphi(r), \quad x > 0, \quad (\text{П. 4})$$

$$\Psi(x, r) = 2\sqrt{\frac{\hbar k_2}{p(x)}} \cos\left(\frac{1}{\hbar} \int_a^0 p(x') dx' + \varphi_0\right) \varphi(r), \quad x < 0. \quad (\text{П. 5})$$

Выбор множителя в (П. 5) соответствует условию, что падающая электронная волна при $x=0$ отражается приблизительно со 100%-й вероятностью ($R \approx 1$).

Из условия непрерывности потока на границе имеем

$$k_1 |A|^2 = k_2 \mathcal{D}. \quad (\text{П. 6})$$

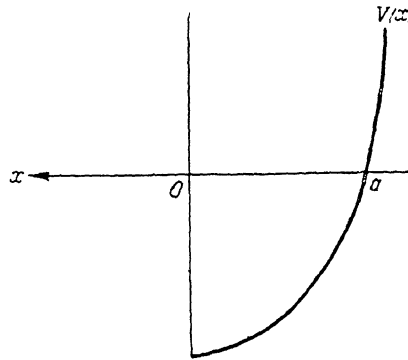


Рис. 5.

Отсюда для потока J получаем

$$J = \frac{\hbar k_1}{m} |A|^2 \int |\varphi(r)|^2 d^2r = \frac{\hbar k_2}{m} \mathcal{D} \int |\varphi(r)|^2 d^2r. \quad (\text{П. 7})$$

Условие нормировки дает

$$\int d^2r |\varphi(r)|^2 4\hbar k_2 I = 1, \quad (\text{П. 8})$$

где

$$I = \int_a^0 dx \frac{\cos^2\left(\frac{1}{\hbar} \int_a^0 p(x') dx' + \varphi_0\right)}{p(x)}. \quad (\text{П. 9})$$

При вычислении I можно приближенно заменить

$$\cos^2\left(\frac{1}{\hbar} \int_a^0 p(x') dx' + \varphi_0\right)$$

на его среднее значение $1/2$, что дает

$$I = T/4m, \quad (\text{П. 10})$$

где

$$T = 2 \int_a^0 \frac{dx}{v(x)}$$

— классический период обращения электрона по орбите. Окончательно имеем

$$J = \mathcal{D}/T, \quad (II.11)$$

откуда для времени жизни получаем формулу (9) основного текста.

Список литературы

- [1] Яссиевич И. Н., Бреслер М. С., Гусев О. Е., Яковлев Ю. П. // Ильяма ЖЭТФ. 1990. Т. 52. В. 11. С. 1200—1203.
- [2] Electronic structure of semiconductor heterojunctions / Ed. by G. Margaritondo. Dordrecht, 1988. 336 p.
- [3] Mooradian A., Fan H. Y. // Radiative recombination in semiconductors. Paris, 1965. P. 39—46.
- [4] Yuan Y. R., Mohammed K., Pudensi M. A. A., Merz J. L. // Appl. Phys. Lett. 1984. V. 45. N 7. P. 739—741.
- [5] Молекулярно-лучевая эпитаксия и гетероструктуры / Под ред. Л. Л. Чанга, К. Плоога. М., 1989. 582 с.
- [6] Сурик Р. А. // ФТП. 1986. Т. 20. В. 11. С. 2008—2013.
- [7] Козырев С. В., Шик А. Я. // ФТП. 1985. Т. 19. В. 8. С. 1667—1672.
- [8] Мигдал А. Б. Качественные методы в квантовой теории М., 1975. 336 с.

Физико-технический институт
им. А. Ф. Иоффе АН СССР
Ленинград

Получена 11.10.1990
Принята к печати 17.10.1990